

Introdução às Instabilidades Hidrodinâmicas Escoamentos Bifásicos

Erick de Moraes Franklin

UNICAMP - Universidade Estadual de Campinas

Março 2015

Motivação

Diversos fenômenos físicos

● Industrial

- Ondas interfaciais em dutos
- Aglomeração/dispersão de poluentes
- Transição para a turbulência em dutos
- Instabilidades em jatos
- Transição de padrões em dutos (esc.bifásicos)

● Ambiental

- Início da convecção
- Formação de rugas e de dunas
- Ondas de gravidade



wikipedia (Creative Commons license)

Instabilidades Hidrodinâmicas

- Grande interesse acadêmico
 - Compreensão de mecanismos físicos
 - Compreensão das “Grandes Estruturas”
 - Elaboração de ferramentas de análise
 - Elaboração de métodos numéricos
 - Utilização de técnicas experimentais avançadas



wikipedia (Creative Commons license)

Breve histórico

- Faraday (1831)
- Helmholtz (1868)
- Kelvin (1871)
- Rayleigh (1879)
- Reynolds (1883)
- Orr (1907)
- Sommerfeld (1908)
- Taylor (1923)
- Tollmien (1929)
- Schlichting (1933)
- Squire (1933)
- Landau (1944)
- Kapitza (1948)
- Gaster (1962)
- Chandrasekhar (1961)
- Yih (1963)

Est. no sentido de Lyapounov e Assintótica

Definição

Um estado base $U_0(x, t)$ é dito estável no sentido de Lyapounov se, para $\forall \epsilon > 0 \exists \delta(\epsilon) > 0 \mid \|u(x, 0) - U_0(x, 0)\| \leq \delta$, $\|u(x, t) - U_0(x, t)\| \leq \epsilon$ para todo $t > 0$

Definição

Um estado base $U_0(x, t)$, estável no sentido de Lyapounov, é dito assintoticamente estável se $\exists \delta > 0 \mid$ se $\|u(x, 0) - U_0(x, 0)\| \leq \delta$, então $\lim_{t \rightarrow \infty} \|u(x, t) - U_0(x, t)\| = 0$

Estado base e Perturbação

- Equações descrevendo um pb. Físico
 - Estado Base
 - Perturbação
- Estado Base ψ_0
 - Solução estacionária do problema
 - Satisfaz as equações
- Perturbações $\tilde{\psi} \ll \psi_0$
 - Desvios em relação ao estado base
- Substitui-se $\psi_0 + \tilde{\psi}$ nas Eqs.
- Análise estab. linear (linear em $\tilde{\psi}$)
- Análise estab. não-linear
 - Fracamente não-linear
 - Termos ressoantes



Eq. Ginzburg-Landau: análise linear

- Equação modelo
- $\partial_t \psi + U \partial_x \psi = \mu \psi + \partial_{xx} \psi - |\psi|^2 \psi$
 - $\psi(x, t)$ = campo escalar complexo
 - μ e U = parâmetros
 - Eq. modelo para diversos sistemas físicos
- Estado Base $\psi_0 = 0$
 - Solução estacionária do problema
- Substituindo $\psi = \tilde{\psi} + 0$ e linearizando
 - $(\partial_t + U \partial_x - \mu - \partial_{xx}) \tilde{\psi} = 0$
 - $D \tilde{\psi} = 0$
- Solução= ondas planas $\Rightarrow \tilde{\psi} = \hat{\psi} e^{i(kx - \omega t)}$
 - $D(k, \omega) \tilde{\psi} = 0$

Análise temporal vs. análise espacial

$$\tilde{\psi} = \hat{\psi} e^{i(kx - \omega t)}$$

- **Temporal:** $k \in \mathbb{R}$ e $\omega \in \mathbb{C}$
 - $\omega = \omega_r + i\omega_i$
 - em princípio, para instab. absoluta
 - cresc. exponencial como $e^{\omega_i t}$
 - $\omega_i > 0 \Rightarrow$ lin. instável
 - $\omega_i < 0 \Rightarrow$ estável
 - $\omega_i = 0 \Rightarrow$ estabilidade neutra



Teorema de Gaster

Lemma

Seja $c_g = \partial_{k_r} \omega$ a velocidade de grupo de uma instabilidade inicial, onde k_r é o número de onda real, então as taxas de crescimento temporal e espacial se relacionam da seguinte forma:

$$\omega_i^T = -c_g k_i^S$$

Example of temporal analysis

- Application to G.L. Equation

- $(\partial_t + U\partial_x - \mu - \partial_{xx})\tilde{\psi} = 0$

- Temporal: $k \in \mathbb{R}$ e $\omega \in \mathbb{C}$

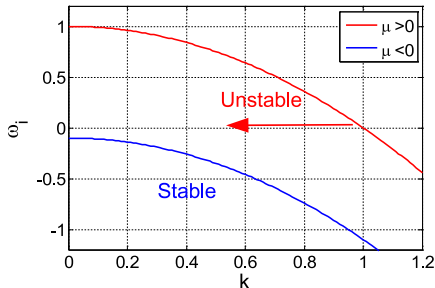
- $D(\omega, k) = -i\omega + iUk - \mu + k^2$

- $\omega = \omega_r + i\omega_i$

- $\omega_i = \mu - k^2$

- $\omega_r = kU \Rightarrow c = \omega_r/k = U$

- Long wave instability



Critério de Estabilidade Linear

- Seja uma perturbação genérica

$$\psi(x, t) = \frac{1}{2\pi} \int_{F_k} \int_{L_\omega} \hat{\psi}(x, t) e^{kx - \omega t} d\omega dk$$

- Huerre and Rossi (1998) mostraram que a solução de $D\tilde{\psi} = S$ para um caminho de integração escolhido como $F_k \in \mathbb{R}$ é dominada pelos pólos de integração

$$\psi(x, t) = \frac{-i}{2\pi} \sum_j \int_{-\infty}^{+\infty} \frac{\hat{S}(k, \omega_j)}{\partial_x D(k, \omega_j)} e^{kx - \omega_j t} dk$$

Lemma

Uma C.N.S de estabilidade é que $\omega_{ji} < 0 \forall j$ e em todos os números de onda k

Critério de Estabilidade Linear

- Seja uma perturbação genérica

$$\psi(x, t) = \frac{1}{2\pi} \int_{F_k} \int_{L_\omega} \hat{\psi}(x, t) e^{kx - \omega t} d\omega dk$$

- Huerre and Rossi (1998) mostraram que a solução de $D\tilde{\psi} = S$ para um caminho de integração escolhido como $F_k \in \mathbb{R}$ é dominada pelos pólos de integração

$$\psi(x, t) = \frac{-i}{2\pi} \sum_j \int_{-\infty}^{+\infty} \frac{\hat{S}(k, \omega_j)}{\partial_x D(k, \omega_j)} e^{kx - \omega_j t} dk$$

- Estabilidade Temporal => C.N.S de estabilidade

Linear Perturbation Eqs.

- Inserindo \vec{V} e P nas Eqs. Euler e linearizando
 - $\nabla \cdot \vec{u} = 0$
 - $(\partial_t + \bar{U}\partial_x)\vec{u} + \bar{U}'v\vec{e}_x = -\nabla p$
- O problema é invariante por translações no tempo e nas direções x e z
 - $u = \hat{u}(y)e^{i(k_x x + k_z z - \omega t)} + c.c.$
 - $v = \hat{v}(y)e^{i(k_x x + k_z z - \omega t)} + c.c.$
 - $w = \hat{w}(y)e^{i(k_x x + k_z z - \omega t)} + c.c.$
 - $p = \hat{p}(y)e^{i(k_x x + k_z z - \omega t)} + c.c.$
- Inserindo nas Eqs. linearizadas:
 - $ik_x \hat{u} + \partial_y \hat{v} + ik_z \hat{w} = 0$
 - $i(k_x \bar{U} - \omega)\hat{u} + \bar{U}'\hat{v} = -ik_x \hat{p}$
 - $i(k_x \bar{U} - \omega)\hat{v} = -\partial_y \hat{p}$
 - $i(k_x \bar{U} - \omega)\hat{w} = -ik_z \hat{p}$

Linear Perturbation Eqs.

- + condições de contorno
 - $\hat{u}, \hat{v}, \hat{w}, \hat{p} \rightarrow 0$ para $y \rightarrow \pm\infty$
 - ou,
 - $\hat{v} = 0$ para $y = y_1, y = y_2$
- Este sistema é do tipo
 - $L\phi = \omega M\phi$
- Onde $\phi = (\hat{u}, \hat{v}, \hat{w}, \hat{p})$ e L e M são operadores diferenciais lineares
- P/ dado vetor de onda:
 - $\det(L - \omega M) = 0$, p/ sol. não trivial
 - $D(\vec{k}, \omega) = 0$, rel. dispersão

Transformação e teorema de Squire (1933)

• Seja a transformação

• $\tilde{k}^2 = k_x^2 + k_z^2$

• $\tilde{c} = c = \omega/k_x$

• $\tilde{\omega} = \tilde{c}\tilde{k} = \sqrt{k_x^2 + k_y^2}/k_x$

• $\tilde{k}\tilde{u} = k_x\hat{u} + k_z\hat{w}$

• $\tilde{v} = \hat{v}$

• $\tilde{p} = \hat{p}k/k_x$

• Inserindo no sistema anterior:

• $i\tilde{k}\tilde{u} + \partial_y\tilde{v} = 0$

• $i\tilde{k}(\bar{U} - \tilde{c})\tilde{u} + \bar{U}'\tilde{v} = -i\tilde{k}\tilde{p}$

• $i\tilde{k}(\bar{U} - \tilde{c})\tilde{v} = -\partial_y\tilde{p}$

• + condições de contorno

• $\tilde{u}, \tilde{v}, \tilde{p} \rightarrow 0$ para $y \rightarrow \pm\infty$

• ou,

• $\tilde{v} = 0$ para $y = y_1, y = y_2$

Transformação e teorema de Squire (1933)

- Sistema 2D equivalente
 - $L\tilde{\phi} = \tilde{c}M\tilde{\phi}$
 - $\det(L - \tilde{c}M) = 0$, p/ sol. não trivial
 - $D(\tilde{k}, \tilde{c}) = 0$, rel. dispersão

Lemma

A todo modo (\vec{k}, ω) tridimensional instável de taxa de crescimento temporal ω_i , pode ser associado um modo $(\tilde{k}, \tilde{\omega})$ bidimensional, mais instável ($\tilde{\omega}_i \geq \omega_i$), de taxa de crescimento temporal $\tilde{\omega}_i = \omega_i \sqrt{k_x^2 + k_y^2/k_x}$

- Para determinar est./inst. linear em escoam. paralelos, basta considerar perturbações 2D

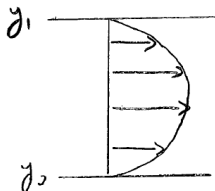


Eq. de Rayleigh

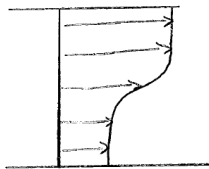
- Se $c = \bar{U}$, temos uma singularidade
- Cond. de contorno:
 - $\hat{\psi} \rightarrow 0$ para $y \rightarrow \pm\infty$
 - ou
 - $\hat{\psi} = 0$ para $y = y_1$ e $y = y_2$
- Dado o Teorema de Gaster, análise temporal ou espacial
- Se $\hat{\psi}$ é função própria associada ao valor próp. c , então $\hat{\psi}^*$ é função própria associada ao valor próp. c^*
- Se $c \in \mathbb{R}$, então perturbações se propagam sem se amplificar => Estável
- Se $c \in \mathbb{C}$, então c e c^* são complexos conjugados => Instável

Teorema de Rayleigh

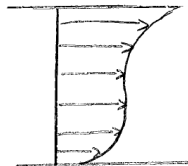
- Para escoamentos não-viscosos:



ESTÁVEL



PODE SER
INSTÁVEL



PODE SER
INSTÁVEL

- OBS: os mecanismos viscosos foram desprezados...



Instabilidade de Kelvin-Helmholtz

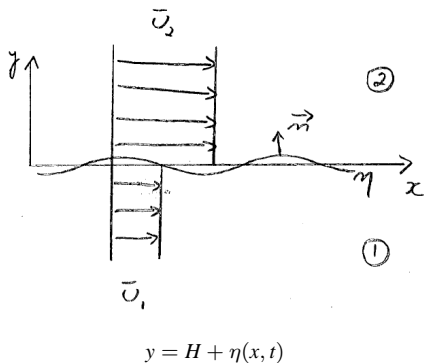
● Sejam 2 correntes paralelas do mesmo fluido

- \bar{U} diferentes
- \bar{U} uniformes
- mesmo ρ
- sem tensão superficial
- KH "clássica"

● Eq. de Rayleigh com $\bar{U}'' = 0$

● $\hat{\psi}_j'' - k^2 \hat{\psi}_j$

● $\hat{\psi}_j = A_j e^{-ky} + B_j e^{ky}$



- Cond. no infinito $\Rightarrow \hat{\psi}$ limitada

- $A_1 = 0$ e $B_2 = 0$

- $\hat{\psi}_1 = B_1 e^{ky}$

- $\hat{\psi}_2 = A_2 e^{-ky}$

- Cond. cinemática na interface:

- $\vec{V}_j \cdot \vec{n} = \vec{W} \cdot \vec{n}$ para $y = \eta$

- $\vec{n} = \frac{\nabla H}{|\nabla H|} = \frac{(-\partial_x \eta, 1)}{\sqrt{1 + \partial_x \eta^2}} \approx (-\partial_x \eta, 1)$

- $dH = 0 \Rightarrow \vec{W} \cdot \vec{n} = \frac{-\partial_t H}{|\nabla H|} = \frac{\partial_t \eta}{\sqrt{1 + \partial_x \eta^2}} \approx \partial_t \eta$

- $\eta = \hat{\eta} e^{ik(x-ct)}$

- $\hat{\psi}_1(0)/(\bar{U}_1(0) - c)^{-1} = \hat{\psi}_2(0)/(\bar{U}_2(0) - c)^{-1} = -\hat{\eta}$

- logo, $B_1(\bar{U}_1 - c)^{-1} = A_2(\bar{U}_2 - c)^{-1}$

- Cond. dinâmica na interface:

- $P_1(\eta) = P_2(\eta) \Rightarrow p_1(0) = p_2(0)$

- e, combinando com a comp. x da Eq. de Euler,

- $\partial_t U + U\partial_x U + V\partial_y U = -\partial_x P$

- $(\bar{U}_1 - c)\hat{\psi}'_1(0) - \bar{U}'_1\hat{\psi}_1(0) = (\bar{U}_1 - c)\hat{\psi}'_2(0) - \bar{U}'_2\hat{\psi}_2(0)$

- logo, $(\bar{U}_1 - c)kB_1 = -(\bar{U}_2 - c)kA_2$

- A solução do sistema

- $\hat{\psi}_1 = B_1 e^{ky}$

- $\hat{\psi}_2 = A_2 e^{-ky}$

- $B_1(\bar{U}_1 - c)^{-1} = A_2(\bar{U}_2(0) - c)^{-1}$

- $(\bar{U}_1 - c)kB_1 = -(\bar{U}_2 - c)kA_2$

é

- $c = \omega/k = U_m \pm i\Delta U$

- $Um = (\bar{U}_1 + \bar{U}_2)/2$

- $\Delta U = (\bar{U}_1 - \bar{U}_2)/2$

- 2 modos correspondendo a 2 valores próprios conjugados

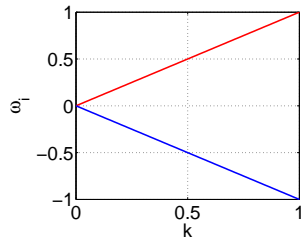
- Para análise temporal ($c = c_r + ic_i$):

- Celeridade: $c_r = U_m$

- Taxa de crescimento $\omega_i = \pm k\Delta U$

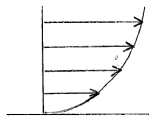
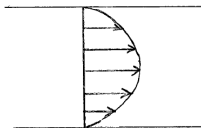
KH: conclusões

- O escoamento é instável para qualquer ΔU
 - Qualquer perturbação, qualquer k
- Taxa de crescimento aumenta com k
 - Qto. menor o comp. de onda, mais instável
- Ondas se propagam à mesma velocidade U_m
- Estas conclusões não-viscosas são pouco Físicas
 - Ignoramos a difusão viscosa
 - Estabiliza os pequenos comp. de onda
 - Na presença de interfaces, há ainda a capilaridade
- Validade da análise não viscosa (análise dimensional):
 - $k \ll \Delta U/\nu$



Viscous vs. inviscid

- Inst. não viscosas: presença de pto. de inflexão. Validade:
 - Escoam. a Re elevados e longe de paredes
 - Ex: jato livre, esteiras, camada de mistura
- Longe de paredes, a viscosidade teria apenas papel difusivo
 - Apenas atenua a taxa de crescimento
- A proximidade de paredes modifica bastante as coisas
 - Viscosidade é fundamental



- Estáveis segundo Teorema de Rayleigh
- Diferente da obs. experimental

Incompressible viscous shear flow

- NS equations

- $\nabla \cdot \vec{V} = 0$
- $\partial_t \vec{V} + \vec{V} \cdot \nabla \vec{V} = -\nabla P + \frac{1}{Re} \nabla^2 \vec{V}$

- Basic state

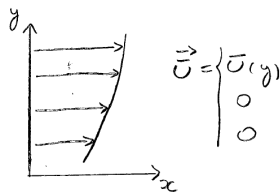
- $\vec{U}(\vec{x}, t) = \bar{U}(y) \vec{e}_x$
- $P(\vec{x}, t) = \bar{P}$
- Flow parallel to the x direction
- Invariant in x and z directions

- Perturbations

- $\vec{u}(\vec{x}, t) = u \vec{e}_x + v \vec{e}_y + w \vec{e}_z$
- $p(\vec{x}, t) = p$

- Total

- $\vec{V}(\vec{x}, t) = \bar{U}(y) \vec{e}_x + u \vec{e}_x + v \vec{e}_y + w \vec{e}_z$
- $P(\vec{x}, t) = \bar{P} + p$



Estado base

Linear Perturbation Eqs.

- Inserindo \vec{v} e P nas Eqs. Euler e linearizando = Eqs. Não Viscosas + $\frac{1}{Re} \nabla^2 \vec{u}$

- $\nabla \cdot \vec{u} = 0$

- $(\partial_t + \bar{U}\partial_x)\vec{u} + \bar{U}'v\vec{e}_x = -\nabla p + \frac{1}{Re}\nabla^2\vec{u}$

- O problema é invariante por translações no tempo e nas direções x e z

- $u = \hat{u}(y)e^{i(k_x x + k_z z - \omega t)} + c.c.$

- $v = \hat{v}(y)e^{i(k_x x + k_z z - \omega t)} + c.c.$

- $w = \hat{w}(y)e^{i(k_x x + k_z z - \omega t)} + c.c.$

- $p = \hat{p}(y)e^{i(k_x x + k_z z - \omega t)} + c.c.$

- Inserindo nas Eqs. linearizadas = Eqs. Não Viscosas + $(1/Re)(\partial_{yy} - k_x^2 + k_z^2)$

- $ik_x\hat{u} + \partial_y\hat{v} + ik_z\hat{w} = 0$

- $i(k_x\bar{U} - \omega)\hat{u} + \bar{U}'\hat{v} = -ik_x\hat{p} + (1/Re)(\partial_{yy} - k_x^2 + k_z^2)\hat{u}$

- $i(k_x\bar{U} - \omega)\hat{v} = -\partial_y\hat{p} + (1/Re)(\partial_{yy} - k_x^2 + k_z^2)\hat{v}$

- $i(k_x\bar{U} - \omega)\hat{w} = -ik_z\hat{p} + (1/Re)(\partial_{yy} - k_x^2 + k_z^2)\hat{w}$

Linear Perturbation Eqs.

- + condições de contorno
 - $\hat{u}, \hat{v}, \hat{w}, \hat{p} \rightarrow 0$ para $y \rightarrow \pm\infty$
 - ou,
 - $\hat{u}, \hat{v}, \hat{w}$, para $y = y_1, y = y_2$
- Este é um problema de autovalores que só admite solução não trivial se:
 - $D(\vec{k}, \omega, Re) = 0$
- Transformação de Squire
 - Transformação pb. não-viscoso
 - +
 - $\tilde{Re} = Re k_x / \tilde{k}$

Transformação e teorema de Squire (1933)

- Inserindo a transf. no sistema anterior:
 - $i\tilde{k}\tilde{u} + \partial_y\tilde{v} = 0$
 - $i\tilde{k}(\bar{U} - \tilde{c})\tilde{u} + \bar{U}'\tilde{v} = -i\tilde{k}\tilde{p} + (1/\tilde{Re})(\partial_{yy} - \tilde{k}^2)\tilde{u}$
 - $i\tilde{k}(\bar{U} - \tilde{c})\tilde{v} = -\partial_y\tilde{p} + (1/\tilde{Re})(\partial_{yy} - \tilde{k}^2)\tilde{v}$
- + condições de contorno
 - $\tilde{u}, \tilde{v}, \tilde{p} \rightarrow 0$ para $y \rightarrow \pm\infty$
 - ou,
 - $\tilde{u}, \tilde{v} = 0$ para $y = y_1, y = y_2$
- Sistema 2D equivalente
 - $D(\tilde{k}, \tilde{c}, \tilde{Re}) = 0$

Teorema de Squire (1933)

- Ou seja,

- $D(\sqrt{k_x^2 + k_z^2}, \omega \sqrt{k_x^2 + k_y^2}/k_x, Re k_x/\sqrt{k_x^2 + k_z^2}) = 0$

- $\tilde{\omega}_i \geq \omega_i$ e $\tilde{Re} \leq Re$

Lemma

A todo modo oblíquo (\vec{k}, ω) tridimensional instável de taxa de crescimento temporal ω_i para o número de Reynolds Re , pode ser associado um modo $(\tilde{k}, \tilde{\omega})$ bidimensional mais instável, de taxa de crescimento temporal $\tilde{\omega}_i = \omega_i \sqrt{k_x^2 + k_y^2}/k_x \geq \omega_i$ para o número de Reynolds $Re k_x/\sqrt{k_x^2 + k_z^2} \leq Re$

- Para determinar est./inst. linear em escoam. paralelos viscosos, basta considerar perturbações 2D



Eq. de Orr-Sommerfeld

- Dado Teorema de Squire, Eqs. 2D
- Para a função corrente $U = \partial_y \Psi$, $V = -\partial_x \Psi$
- $\Psi = \bar{\Psi} + \psi$
- e linearizando
- Obtem-se **eq. não-viscosa** + $(1/Re)(\partial_{xx} + \partial_{yy})^2 \psi$
 - $(\partial_t + \bar{U}\partial_x)\nabla^2 \psi - \bar{U}''\partial_x \psi = (1/Re)(\partial_{xx} + \partial_{yy})^2 \psi$
- cujas soluções são da forma
 - $\psi = \hat{\psi}(y)e^{ik(x-ct)}$
- => Eq. de Orr-Sommerfeld = **Rayleigh** + $(1/ikRe)(\partial_{yy} - k^2)^2 \hat{\psi}$
 - $(\bar{U} - c)(\partial_{yy} - k^2)\hat{\psi} - \bar{U}''\hat{\psi} = (1/ikRe)(\partial_{yy} - k^2)^2 \hat{\psi}$

Eq. de Orr-Sommerfeld

- $(\bar{U} - c)(\partial_{yy} - k^2)\hat{\psi} - \bar{U}''\hat{\psi} = (1/ikRe)(\partial_{yy} - k^2)^2\hat{\psi}$
- $L_A\hat{\psi} = cL_B\hat{\psi}$
- + Cond. de contorno:
 - $\partial_y\hat{\psi} \rightarrow 0$ e $\hat{\psi} \rightarrow 0$ para $y \rightarrow \pm\infty$
 - ou
 - $\partial_y\hat{\psi} = 0$ e $\hat{\psi} = 0$ para $y = y_1$ e $y = y_2$
- Pb. autovalores
- EDO 4ª ordem com coef. não constantes
- Não há solução geral exata
 - Métodos de perturbação
 - Soluções numéricas

Instabilidade de Rayleigh-Taylor

- Fluidos não miscíveis sobrepostos em campo gravitacional
 - Separados por interface horizontal
 - Sem efeitos de parede
 - Sem efeitos viscosos significativos
- Rayleigh (1879, 1883)
- Fisicamente, competição entre:
 - Gravidade
 - Tensão superficial



Análise dimensional

- Comprimento característico:

- $l_c = \sqrt{\gamma/|\rho_2 - \rho_1|g}$

- Tempo característico:

- $\tau_c = \sqrt{l_c/g} = (\gamma/|\rho_2 - \rho_1|g^3)^{1/4}$

- Efeitos de parede

- Desprezíveis se $D \gg l_c$

- Efeitos viscosos

- Desprezíveis se QDM se difundir em distância $\ll l_c$

- $\sqrt{\nu\tau_c} \ll l_c$

ou seja,

- $Re_c = l_c^2/(\nu\tau_c) \gg 1$

- P/ interface ar- H_2O , $Re_c \approx 15 \gg 1$

Eqs. Conservação

- Massa

- $\partial_x U_j + \partial_y V_j = 0$ logo, p/ a perturbação
- $\partial_{xx}\phi_j + \partial_{yy}\phi_j = 0$

- QDM

- $\rho_j \partial_t \phi_j + \frac{1}{2} \rho_j (\nabla \phi_j)^2 + P_j + \rho_j g y = cte$
linearizando e considerando o estado base na cte
- $\rho_j \partial_t \phi_j + p_j = 0$

- Condições de Contorno

- Decréscimo em $y \rightarrow \pm\infty$
 - $\phi_1, p_1 \rightarrow 0$ para $y \rightarrow -\infty$
 - $\phi_2, p_2 \rightarrow 0$ para $y \rightarrow +\infty$
- Condição cinemática na interface
 - $\vec{V} \cdot \vec{n} = \vec{W} \cdot \vec{n}$
logo, desenvolvendo (e linearizando):
 - $v_1(y=0) = v_2(y=0) = \partial_t \eta$



Eqs. Conservação

- Condição dinâmica na interface

- $P_1(\eta) - P_2(\eta) = \gamma/R$

onde

- $P_j = P_0 - \rho_j g y + p_j$

- $1/R = -\nabla \cdot \vec{n}$ é a curvatura da interface

- $p_2(0) - p_1(0) = \gamma \partial_{xx} \eta + (\rho_2 - \rho_1) g \eta$

- Inserindo os modos normais

- $\phi(x, y, t) = \hat{\phi}(y) e^{i(kx - \omega t)}$

- $\eta(x, y, t) = \hat{\eta}(y) e^{i(kx - \omega t)}$

- $p(x, y, t) = \hat{p}(y) e^{i(kx - \omega t)}$

Relação de dispersão

- Eqs. Conservação linearizadas

- $(\partial_{yy} - k^2)\hat{\phi}_j = 0$

- $-i\omega\rho_j\hat{\phi}_j + \hat{p}_j = 0$

- Condições de contorno linearizadas

- $\hat{\phi}_1 \rightarrow 0, y \rightarrow -\infty$

- $\hat{\phi}_2 \rightarrow 0, y \rightarrow +\infty$

- $\partial_y\hat{\phi}_1 = -i\omega\hat{\eta}, y = 0$

- $\partial_y\hat{\phi}_2 = -i\omega\hat{\eta}, y = 0$

- $(\hat{p}_2 - \rho_2 g\hat{\eta}) - (\hat{p}_1 - \rho_1 g\hat{\eta}) = -k^2\gamma\hat{\eta}, y = 0$

- Relação de dispersão

- $\omega^2 = k[\gamma k^2 - (\rho_2 - \rho_1)g](\rho_2 + \rho_1)^{-1}$

Análise

- Análise temporal

- $k \in \mathbb{R}$ e $\omega \in \mathbb{C}$

- caso 1: $\rho_1 > \rho_2$

- $\omega^2 > 0 \Rightarrow \omega \in \mathbb{R}$

- $\omega_i = 0$: estabilidade neutra

- $\omega_r \neq 0$: oscilações

- $\omega = \sqrt{[(\rho_1 - \rho_2)gk + \gamma k^3](\rho_1 + \rho_2)^{-1}}$

- $c_r = \omega_r/k = \sqrt{[(\rho_1 - \rho_2)gk^{-1} + \gamma k](\rho_1 + \rho_2)^{-1}}$

ou seja,

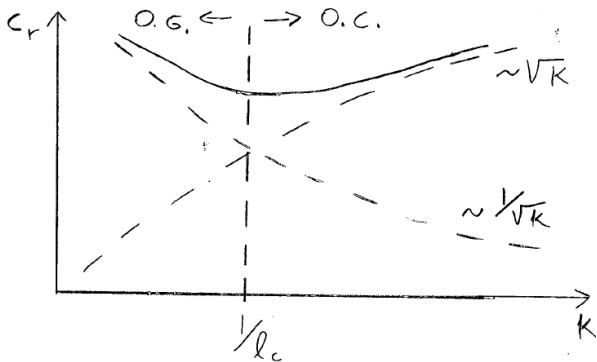
- $c_r = \sqrt{[k^2 + 1/l_c^2]\gamma[(\rho_1 + \rho_2)k]^{-1}}$

logo

- $k \rightarrow 0 \Rightarrow c \sim 1/\sqrt{k}$

- $k \rightarrow \infty \Rightarrow c \sim \sqrt{k}$

Dimensional analysis

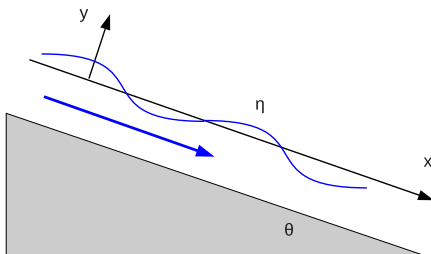


Análise

- caso 2: $\rho_1 < \rho_2$
 - $\omega^2 = [k^2 - 1/l_c^2]k\gamma(\rho_2 + \rho_1)^{-1}$
 - 2.1) $kl_c > 1$: ondas curtas
 - $\omega^2 > 0 \Rightarrow \omega \in \mathbb{R}$
 - $\omega_i = 0$: estabilidade neutra
 - 2.2) $kl_c < 1$: ondas longas
 - $\omega^2 < 0 \Rightarrow \omega \in \mathbb{C}$
 - $\omega_i = \pm \sqrt{-[\gamma k^3 - (\rho_2 - \rho_1)gk]}(\rho_2 + \rho_1)^{-1}$
logo
 - 1 modo estável $\omega_i < 0$
 - 1 modo instável $\omega_i > 0$

Filme líquido em plano inclinado

- Esc. gravitacional
- Kapitza (1948, 1949), Benjamim (1957), Yih (1963), Benney (1966), Liu et al. (1993)
- Fisicamente, competição entre:
 - Inércia
 - Gravidade
 - Tensão superficial



Problema 2D

● Eqs. do problema

$$\bullet \partial_x U + \partial_y V = 0$$

$$\bullet \rho [U \partial_x U + V \partial_y U] = -\partial_x P + \rho g \sin \theta + \mu [\partial_{xx} U + \partial_{yy} U]$$

$$\bullet \rho [U \partial_x V + V \partial_y V] = -\partial_y P + \rho g \cos \theta + \mu [\partial_{xx} V + \partial_{yy} V]$$

● Estado base

$$\bullet \bar{\eta} = 0$$

$$\bullet \bar{V}(y) = 0$$

$$\bullet \bar{U}(y) = U_0 (1 - y^2/h^2)$$

$$\bullet \bar{P}(y) - P_0 = -\rho g y \cos \theta$$

onde

$$\bullet U_0 = \frac{\rho g h^2 \sin \theta}{2\mu}$$

● Perturbações

$$\bullet U = \bar{U} + u = \bar{U} + \partial_y \psi$$

$$\bullet V = \bar{V} + v = 0 - \partial_x \psi$$

$$\bullet \Xi = \bar{\eta} + \eta = 0 + \eta$$

Problema 2D

- Modos normais

- $\psi(x, y, t) = \hat{\psi}(y)e^{i\alpha(x-ct)}$

- $\eta(x, y, t) = \hat{\eta}(y)e^{i\alpha(x-ct)}$

onde

- $\alpha = kh$

- Substituindo nas Eqs. do Pb.

- $(D^2 - \alpha^2)^2 \hat{\psi} = i\alpha Re [(\bar{U} - c)(D^2 - \alpha^2) - D^2 \bar{U}] \hat{\psi}$

onde

- $\partial_{yy} = D^2$

- c normalizado por U_0

- Que é a Eq. de Orr-Sommerfeld

- Obs: esc. base é paralelo => Teorema de Squire

Problema 2D

- Cond. contorno não deslizamento ($y = -h$)
 - $U = 0, V = 0$
logo
 - $D\hat{\psi}(-1) = 0$
 - $\hat{\psi}(-1) = 0$
- Condição cinemática na interface ($y = \eta$)
 - $\vec{V} \cdot \vec{n} = \vec{W} \cdot \vec{n}$
logo, desenvolvendo:
 - $\hat{\psi}(0) - (c - 1)\hat{\eta}(0) = 0$
- Condição dinâmica na interface ($y = \eta$)
 - continuidade da tensão tangencial na interface
 - salto da tensão normal na interface

Problema 2D

- Condição dinâmica na interface (cont.)

- $\vec{t} \cdot (\Gamma \cdot \vec{n}) = 0$

- $\vec{n} \cdot (\Gamma \cdot \vec{n}) - \vec{n} \cdot (-P_0 \vec{n}) = \gamma/R$

onde

- \vec{t} é o vetor tangente, $\vec{t} \cdot \vec{n} = 0$

- Γ é o tensor de tensões

- $1/R = -\nabla \cdot \vec{n}$ é a curvatura da interface

- Assim, para um fluido newtoniano:

- $\frac{-2\mu\partial_x\eta}{(\partial_x\eta)^2+1}(\partial_x U - \partial_y V) + \mu\frac{1-(\partial_x\eta)^2}{1+(\partial_x\eta)^2}(\partial_y U + \partial_x V) = 0$

- $-P + \frac{2\mu}{(\partial_x\eta)^2+1}((\partial_x\eta)^2\partial_x U + \partial_y V - \partial_x\eta(\partial_y U + \partial_x V)) + P_0 = \frac{\gamma\partial_{xx}\eta}{((\partial_x\eta)^2+1)^{3/2}}$



Problema 2D

- Condição dinâmica na interface (cont.)
 - $D^2\hat{\psi}(0) + \alpha^2\hat{\psi}(0) + \hat{\eta}D^2\bar{U}(0) = 0$
 - $-D^3\hat{\psi}(0) + (3\alpha^2 - i\alpha Re(c - 1))D\hat{\psi}(0) + i\alpha Re \left(\frac{1}{Fr} + \frac{\alpha^2}{We} \right) \hat{\eta} = 0$
- EDO 4ª ordem com coef. não constantes + cond. cont.
- Não há solução geral exata
 - Métodos de perturbação
 - Soluções numéricas

Solução assintótica

- Fazendo a expansão para ondas longas $\alpha \ll 1$ (Benney,1966)

- $\hat{\psi}(y) = \hat{\psi}^{(0)}(y) + \alpha \hat{\psi}^{(1)}(y) + O(\alpha^2)$
- $c = c^{(0)} + \alpha c^{(1)} + O(\alpha^2)$

- cuja solução para c truncada em $O(\epsilon)$

- $c^{(0)} = 2$
- $c^{(1)} = iRe \frac{8}{15} \left(1 - \frac{5}{8} \left(\frac{1}{Fr} + \frac{\alpha^2}{We} \right) \right)$

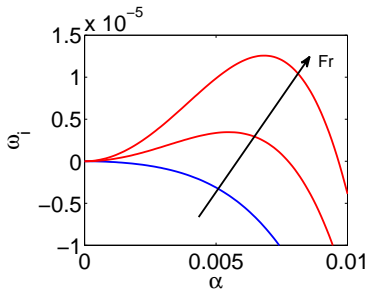
- Taxa de crescimento é $\omega_i = \alpha c_i = \alpha^2 c^{(1)}$

- Condição de estabilidade marginal, $\omega_i = 0$ nos fornece:

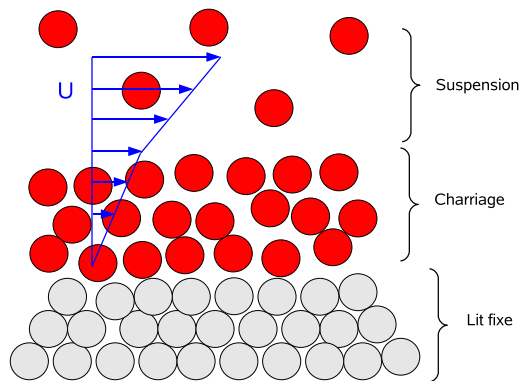
- $Fr_c = \frac{5}{8}$
- $Re_c = \frac{5}{4 \tan \theta}$
- Próximos dos valores encontrados experimentalmente

Solução assintótica

- Taxa de crescimento é $\omega_i = \alpha c_i = \alpha^2 c^{(1)}$
- $Fr_c = \frac{5}{8}$
 - $\omega_i = (Re/3) [(1/Fr_c) - 1/Fr] \alpha^2 - (1/3)(Re/We)\alpha^4$



Modos de transporte

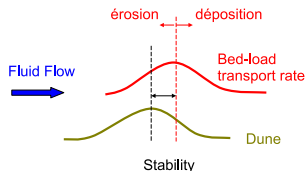
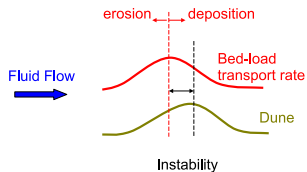


$$Re_* = \frac{d u_*}{\nu}$$
$$\theta = \frac{\tau}{(\rho_p - \rho)gd}$$

- Bed-load : $0,01 \lesssim \theta \lesssim 1$
- Suspensão : $\theta \gtrsim 1$

Instabilidades de um leito granular

- Perturbação do escoamento
 - defasagem à montante
 - Mecanismo instável
- Efeitos de relaxamento
 - defasagem à jusante
 - Mecanismo estável
- Efeitos gravitacionais
 - defasagem à jusante
 - Mecanismo estável





Linear stability analysis

- Fluid flow perturbation

- $$\hat{\tau}_x = A \left(\frac{1}{\pi} \int \frac{\partial_x h}{x-\xi} d\xi + B \partial_x h \right)$$

- Bed-load flow rate

- $$q_{sat} \propto \tau^{3/2}$$

- Relaxation effects

- $$\partial_x q = \frac{q_{sat} - q}{L_{sat}}$$

- Gravity effects

- $$\hat{\tau}_{eff,x} = A \left(\frac{1}{\pi} \int \frac{\partial_x h}{x-\xi} d\xi + B_e \partial_x h \right)$$

- Mass conservation

- $$\partial_t h + \partial_x q = 0$$

- Normal modes

- $$h(x, t) = H e^{\sigma t - i\omega t + ikx}$$

- $$\frac{q(x, t)}{Q_{sat}} = 1 + Q e^{\sigma t - i\omega t + ikx}$$

Linear stability analysis

$$\bullet \sigma = \frac{3Q_{sat}k^2(B-A|k|L_{sat})}{2[1+(kL_{sat})^2]}$$

$$\bullet \omega = \frac{3Q_{sat}k|k|(A+B|k|L_{sat})}{2[1+(kL_{sat})^2]}$$

$$\bullet c = \frac{3Q_{sat}|k|(A+B|k|L_{sat})}{2[1+(kL_{sat})^2]}$$

• Most Unstable mode

$$\bullet \frac{\partial \sigma}{\partial k} = 0$$

$$\bullet k_{max} \approx \frac{2B_e}{3A} \frac{1}{L_{sat}}$$

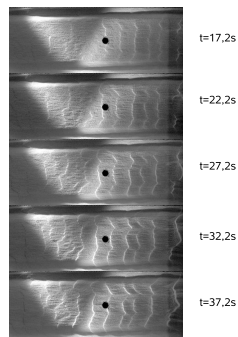
$$\bullet L_{max} \approx \frac{3A}{2B_e} L_{sat}$$

$$\bullet \sigma_{max} \approx \frac{2}{9} \frac{B_e^3}{A^2} (A-2) Q_{sat} \frac{1}{(L_{sat})^2}$$

$$\bullet c_{max} \approx \frac{B}{A} Q_{sat} \frac{1}{L_{sat}}$$

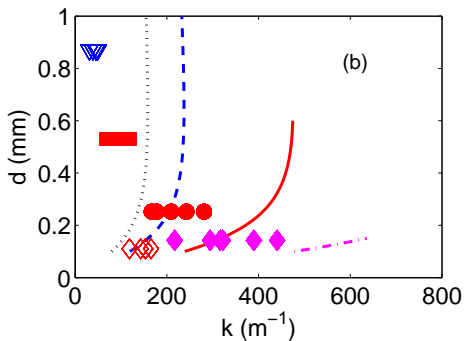
Experiments

- Channel $120\text{mm} \times 60\text{mm}$ e 6m comp.
- Acrylic
- Water + beads
 - glass beads $d = 0.143\text{mm}$,
 $d = 0.252\text{mm}$, $d = 0.530\text{mm}$
 - zirconium beads $d = 0.180\text{mm}$
- Camera



Franklin (2008)

Experiments



Franklin (2015)

Análise fracamente não-linear

- Landau (1944) e Landau and Lifchitz (1959)

- $\frac{dA}{dt} = SA - \kappa_L |A|^2 A + O(A^4)$
- $h(x, t) = \frac{1}{2} (A(t)f(x) + A^*(t)f^*(x))$
- $A \sim e^{St}; S = \sigma + i\omega$

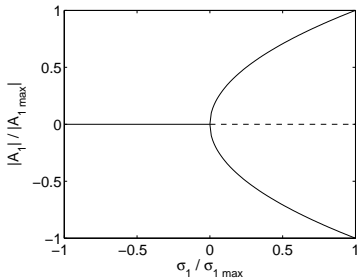
- Aplicação ao leito granular

- $\partial_t h + B_1 h^2 + B_2 (\partial_x h)^2 + B_3 h \partial_x h + B_4 h + B_5 \partial_x h + B_6 = 0$

- $h(x, t) = \frac{1}{2} \sum_{n=-\infty}^{\infty} A_n(t) e^{inkx}$
- $\frac{dA_n}{dt} = S_n A_n + iB_3 \sum_{p=-\infty}^{\infty} p A_{p+n} A_p^*$

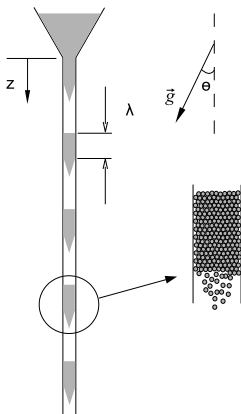
Análise fracamente não-linear

- $\frac{dA_1}{dt} = S_1 A_1 - B_3 i A_2 A_1^* + O(A^4)$
- $\frac{dA_2}{dt} = S_2 A_2 - B_3 i A_1^2 + O(A^4)$
- no início: $\frac{dA_n}{dt} \sim \sigma_1 A_n \ll |\sigma_n| A_n$
- Encontra-se um fundamental
 - $\frac{dA_1}{dt} = S_1 A_1 - \kappa_L |A_1|^2 A_1$
 - $\kappa_L = -\frac{B_3^2}{\sigma_2} > 0$
- Bifurcação supercrítica
 - saturação do fundamental pelas não-linearidades
 - amplitude satura a dado λ

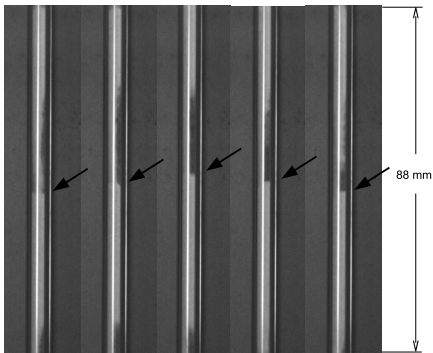


Franklin (2011)

Escoamento gravitacional



Franklin and Alvarez Zambrano (2015)



Franklin and Alvarez Zambrano (2015)

Análise linear

- Eq. plugs granulares

- $\rho_s c \left(\frac{\partial v_s}{\partial t} + v_s \frac{\partial v_s}{\partial z} \right) = \rho_s c g - \frac{\partial P}{\partial z} - \frac{\partial \sigma_{zz}}{\partial z} - \frac{2}{R} \sigma_{zr}$

- Eq. massa + Darcy + rel. isentrópicas

- $\frac{\partial P}{\partial t} + v_s \frac{\partial P}{\partial z} + \frac{\gamma P}{(1-c)} \frac{\partial v_s}{\partial z} - B \frac{\partial^2 P}{\partial z^2} = 0$

- Perturbações

- $P = P_0 + \tilde{P}$
 - $v_s = v_0 + \tilde{v}$

- Eqs. perturbações

- $\rho_s c \left(\frac{\partial \tilde{v}}{\partial t} + v_0 \frac{\partial \tilde{v}}{\partial z} \right) = - \frac{\partial \tilde{P}}{\partial z} - B_3 v_0 \frac{\partial \tilde{v}}{\partial z} - B_5 v_0 \tilde{v}$
 - $\frac{\partial \tilde{P}}{\partial t} + v_0 \frac{\partial \tilde{P}}{\partial z} + \frac{\gamma P_0}{(1-c)} \frac{\partial \tilde{v}}{\partial z} - B_1 \frac{\partial^2 \tilde{P}}{\partial z^2} = 0$

Análise linear

- Modos normais

- $\tilde{P} = \hat{P}e^{i(kz-\omega t)}$

- $\tilde{v} = \hat{v}e^{i(kz-\omega t)}$

- inserindo nas Eqs.:

$$\begin{bmatrix} -\omega + v_0 ik + B_1 k^2 & \frac{\gamma P}{(1-c)} ik \\ ik & \rho_s c (-i\omega + v_0 ik) + B_3 v_0 ik + B_5 v_0 \end{bmatrix} \begin{bmatrix} \hat{P} \\ \hat{v} \end{bmatrix} = \\ = \begin{bmatrix} 0 \\ 0 \end{bmatrix}$$

Referências - Livros e Teses

- Chandrasekhar, S., 1961, "Hydrodynamic and hydromagnetic stability". Dover
- Charru, S., 2011, "Hydrodynamic stability". Cambridge University Press
- D'Olce, M., 2008, "Instabilités de cisaillement dans l'écoulement concentrique de deux fluides miscibles".
Thèse de l'Université Paris VI
- Drazin, P.G. and Reid, W.H., 2004, "Hydrodynamic stability". Cambridge University Press
- Franklin, E. M., 2008, "Dynamique de dunes isolées dans un écoulement cisailé". Thèse de l'Université de Toulouse
- Van Dyke, M., 1982, "An album of fluid motion". Parabolic Press
- Huerre, P. and Rossi, M., 1988, "Hydrodynamic instabilities in open flows". In *Hydrodynamics and nonlinear instabilities*, Cambridge University Press, 81-294
- Landau, L. and Lifchitz, E., 1989, "Mécanique des Fluides", 2^a Ed., Moscou: MIR

Periódicos - Artigos clássicos

- Benney, D.J., 1966, "Long waves on liquid films". J. Math. Phys., Vol. 45, 150-155
- Charru, F. and Hinch, J.E., 2000, "Phase diagram of interfacial instabilities in a two-layer couette flow and mechanism of the long-wave instability". J. Fluid Mech., Vol. 414, 195-223
- Donnelly, R.J. and Glaberson, W., 1966, "Experiments on the capillary instability of a liquid jet". Proc. R. Soc. Lond. A, Vol. 290, 547-556
- Faraday, M., 1831, "On a peculiar class of acoustic figures, and on certain forms assumed by groups of particles upon vibrating elastic surfaces". Phil. Trans. R. Soc. London, 121, 299-340
- Fermigier, M., Limat L., Wesfried, J.E., Boudinet, P., Petiteau, M., Quilliet, C. and Valet, T., 1990, "Gravitational and Magnetic instabilities of thin fluid layers". Phys. Fluids, 1518



Periódicos - Artigos recentes

- Charru, F., Franklin, E.M., "Subaqueous Barchan dunes in turbulent shear flow". Part 2: Fluid flow. J. Fluid Mech., v. 694, p. 131-154, 2012
- Franklin, E.M., "Initial instabilities of a granular bed sheared by a turbulent liquid flow: length-scale determination". J. Braz. Soc. Mech. Sci. Eng., v. 32, p. 460-467, 2010
- Franklin, E.M. and Charru, F., "Subaqueous Barchan dunes in turbulent shear flow. Part 1: Dune motion". J. Fluid Mech., v. 675, p. 199-222, 2011
- Franklin, E.M., "Nonlinear instabilities on a granular bed sheared by a turbulent liquid flow". J. Braz. Soc. Mech. Sci. Eng., , v. 33, p. 265-271, 2011
- Franklin, E.M., Zambrano, C.A.A., "Length scale of density waves in the gravitational flow of fine grains in pipes". J. Braz. Soc. Mech. Sci. Eng., accepted, 2015
- Franklin, E.M., "Formation of sand ripples under a turbulent liquid flow". Appl. Math. Model., accepted, 2015

Websites

- <http://www.nigelstanford.com>
- <https://commons.wikimedia.org>
- <https://en.wikipedia.org>